

神戸大学工学部 西村 昭
 神戸大学工学部 宮本文穂
 佐賀県庁 吉田 秀人

1. ま え が き. AE法は材料の非破壊検査法の1つとして注目されておられ、コンクリートへの適用も種々の特性に着目して試みられている。本研究は、種々のAE特性の中で、特に波形および周波数特性に着目し、同一センサーの使用によって、コンクリートの代表的な破壊形式(曲げ破壊およびせん断破壊)において発生するAE特性の相対的比較を行うことにより、その特徴を明らかにし、現在問題となっているRC床版の耐用性を支配する、ひびわれ発生およびその断面内進行、その後のせん断破壊という一連の擾乱進行過程の非破壊検査法の確立を目的として、破壊形式を制御できる供試体、装置を構築して基礎的研究を行ったものである。

2. 計測・処理システム

本実験では、波形を検出し、処理するために図-1に示すAE計測・処理システムを用いた。ここではAEセンサーとして、904U(NR回路設計)プロック社製を用いた。また、このシステムによるNyquist周波数は500kHzであり、分解幅は7.8kHzである。センサーの供試体への取付けは、シリコングリスで行い、その位置は、設定破壊位置までの距離が各供試体で同一となるようにした。検査したAE波は後述の40dB増幅機、20~200kHzの周波数帯を通過させた。ウェーブメモリーのトリガーレベルは0.5~1.0Vに設定し、メモリーで確認後、デタロガーに記録した。記録したAE波形は、波形解析装置によりFFT法を用いて周波数分析を行った。図-2にそのフローを示す。

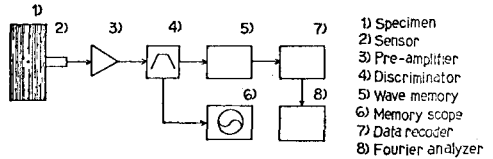


図-1. 計測・処理システム

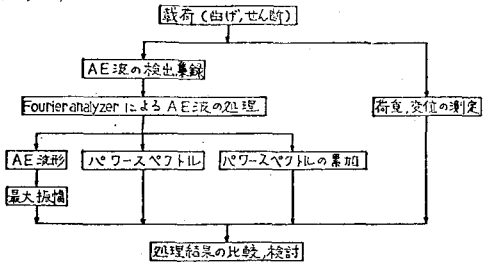


図-2. 解析フロー

3. 実験概要

1) 曲げ破壊試験; 曲げひびわれの発生

過程とポイント

フックおよびモーメントフックを考慮し、

図-3の4種

の曲げ供試体

を作製した。この内

M-3は、人工ひび

をまたいで骨

材を埋込み、

骨材とモルタル

間のポイント

1点載荷

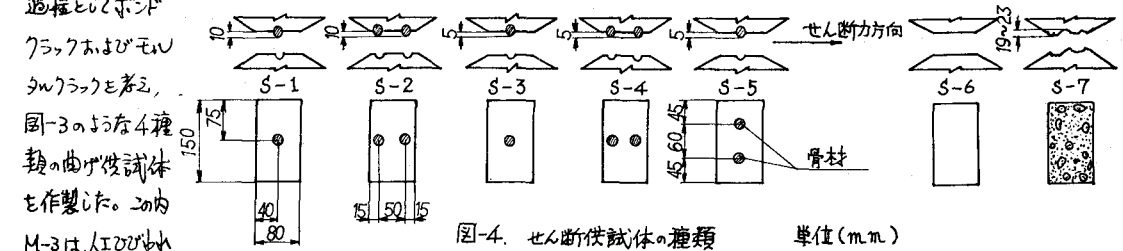


図-3. せん断供試体の種類

単位(mm)

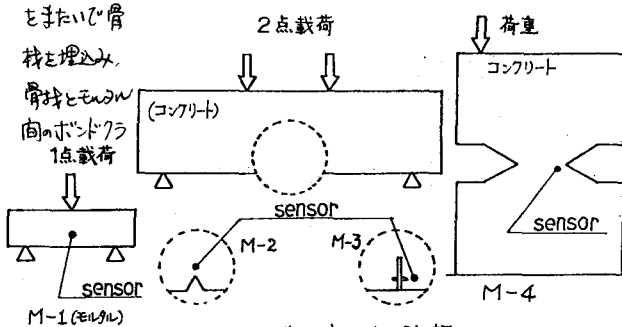


図-4. 曲げ供試体の種類

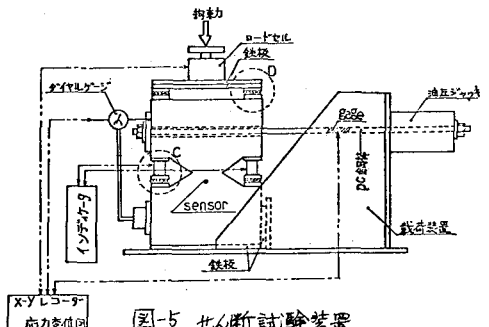


図-5. せん断試験装置

7が最初に生じようとした。 2)せん断破壊試験；曲げひびわれ発生後、コンクリートがせん断すべいを生ずる場合を考へ、図-4のような9種類のせん断面を有する供試体を作製した。S-1,2の場合、せん断面で骨材の破壊が先行するよう骨材の埋込み長および平均ひびわれ幅(0.19mm)を制御し、これに対し、S-3,5では骨材前面のコンクリートの圧壊が先行するよう埋込み長、ひびわれ幅(0.36mm)を制御した。試験は図-5に示す装置を用い、せん断力、拘束力、変位を2X-Yレコーダで制御しながら対応するAE波を採取した。

4. 結果および考察

1)曲げ試験；人工ひびわれ面をまたいだ骨材を埋込んだ供試体の破壊過程は次のようである。まず、骨材とモルタルの付着が破壊し、そのおのずかが生じた後、ひびわれ上面のコンクリートにひびわれが発生し、進行することにより破壊に至る。図-6は、これらに対応すると考えられるAE波スペクトルの累加曲線を示したものである。また、図-7は拘束力を有する供試体について得られたスペクトルの累加曲線を示す。これらによると、骨材とモルタルの付着が破壊する際およびすべいが生ずる際のAE波は低周波が卓越しており、コンクリートにひびわれが生ずる際は高周波が卓越する傾向がわかる。なお、メモリスコープの観察によると、カガ-効果は明瞭にあいまいした。

2)せん断試験；本試験では供試体にかかる拘束力は万能試験機により行い、設置したひび、せん断力の増大とともに拘束力はほぼ直線的に増大していった。採得したAE波の振幅は一般的に、せん断力の増大とともに大まかの発生率が増える傾向を示した。図-8は、せん断面で骨材が破壊した場合のAE波採取時のせん断力とすべい量の関係とプロットしたものである。ほぼ3領域に分れる。図-9はこの領域に対応するAEスペクトル累加曲線を示したものであり、領域I、II、III、おなよび、骨材の破壊までには、低周波が卓越し、領域II、III、おなよび、骨材の破壊後のすべい領域およびコンクリートの破壊領域では高周波に卓越する傾向がある。なお、メモリスコープによると、せん断破壊過程におけるカガ-効果は不明瞭で、繰返し荷重初期より、AE波の発生がみられた。

5. あとがき。 今回、主にスペクトル解析を行うことにより、曲げせん断破壊と特徴づけることを試みたが、カガ-効果との組合せではほぼ分類できることが明らかとなったものの、定性的な域と出ていない。今後は基本的特性も含めた定量的な検討を行ってみたい。最後に、本研究の実施にあたり、神戸大学工学部、藤井学助教授に有益なご助言をいただいた。記し感謝の意を表します。

参考文献

- 1) 丹羽, 小林, 太津 "コンクリート構造物のAE特性に関する基礎的研究" 論文報告集 261号, 2) 谷川, 小林 "コンクリートのAE特性に関する基礎的研究" 第33回セ技.
- 3) D.G. Foutis "Concrete Material Response by Acoustic Spectra Analysis" ASCE, Vol.102, 1976.

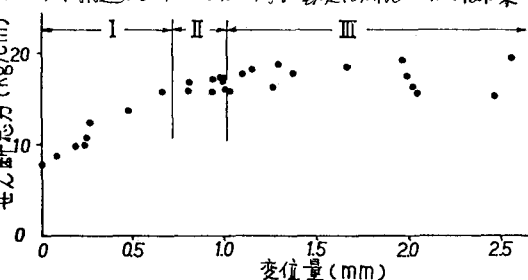


図-8. せん断力-変位関係 (S-2供試体)

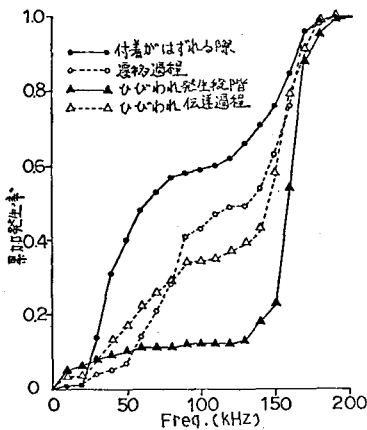


図-6. スペクトル累加曲線 (M-3供試体)

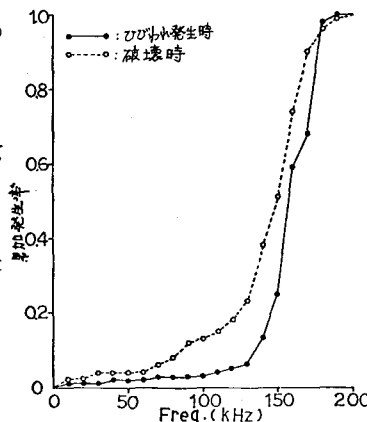


図-7. スペクトル累加曲線 (M-2供試体)

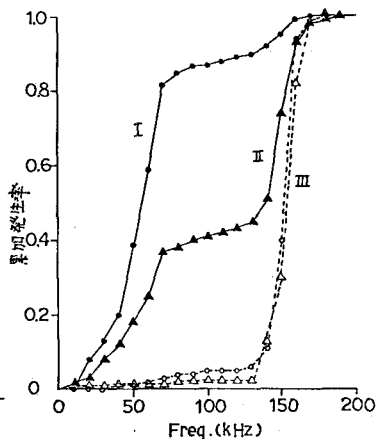


図-9. スペクトル累加曲線 (S-2供試体)